

Arkusz Choroszcz:

| | | | |
|---|-------|----------------------------|--|
| HOLOCEN | 1 | tQ_h | Torfy: |
| | 3/2 | | na kredzie jeziornej |
| | 1/4 | | na piaskach humusowych, piaskach i namulach den dolinnych, zagłębiach bezodpływowych oraz okresowo przepływowych |
| | 1/5 | | na piaskach, żwirach i mulkach, lokalnie mulkach i iłach (madach), rzecznych |
| | 1/8 | | na piaskach i mulkach deluwialno-jeziornych |
| | 1/13 | | na piaskach rzecznych tarasów nadzalewowych 1,0-2,0 m n.p. rzeki |
| | 1/14 | | na piaskach i mulkach jeziornych |
| | 1/17 | | na piaskach i piaskach ze żwirami rzeczno-peryglacialnych tarasów nadzalewowych (pradolinnych) 2,0-5,0 m n.p. rzeki i wodnolodowcowych |
| | 1/19 | | na piaskach i żwirach wodnolodowcowych |
| | 1/25 | | na glinach zwałowych |
| | 2 | kjQ_h | Kreda jeziorna* |
| | 3 | nrQ_h | Namuly torfiaste: |
| | 3/5 | | na piaskach, żwirach i mulkach, lokalnie mulkach i iłach (madach), rzecznych |
| | 4 | psQ_h | Piaski humusowe, piaski i namuly den dolinnych i zagłębi bezodpływowych oraz okresowo przepływowych: |
| | 4/5 | | na piaskach, żwirach i mulkach, lokalnie mulkach i iłach (madach), rzecznych |
| | 4/13 | | na piaskach rzecznych tarasów nadzalewowych 1,0-2,0 m n.p. rzeki |
| | 4/15 | | na torfach oraz mulkach i piaskach humusowych jeziornych |
| | 4/20 | | na mulkach, iłach i piaskach zastoiskowych |
| | 4/25 | | na glinach zwałowych |
| | 5 | $pzmQ_h$ | Piaski, żwiry i mulki, lokalnie mulki i ily (mady), rzeczne |
| | 6 | d_pQ | Piaski, piaski ze żwirami i gliny deluwialne: |
| | 6/25 | | na glinach zwałowych |
| | 7 | $d-i_pQ$ | Piaski deluwialno-rzeczne |
| | 8 | $li-d_{pm}Q$ | Piaski i mulki jeziorno-deluwialne: |
| | 8/25 | | na glinach zwałowych |
| | 9 | p_z^rQ | Piaski, żwiry i gliny rezydualne:* |
| | 9/25 | | na glinach zwałowych |
| | 10 | p_z^zQ | Piaski zwietrzelinowe (eluwialne):* |
| | 10/25 | | na glinach zwałowych |
| | 11 | $pQ^{(w)}$ | Piaski eoliczne w wydmach |
| | 12 | pQ | Piaski eoliczne |
| CZWARTORZED | 13 | $f_{pB}^{(1)}Q$ | Piaski rzeczne tarasów nadzalewowych 1,0-2,0 m n.p. rzeki |
| | 14 | $li_{pm}Q_{p^4}$ | Piaski i mulki jeziorne |
| | 15 | $li_{tm}Q_{p^{3-4}}$ | Torfy oraz mulki i piaski humusowe jeziorne* |
| | 16 | $li_{kj}Q_{p^{3-4}}$ | Kreda jeziorna* |
| | 17 | $f_{pB}^{(1)}Q_{p^3}^{W2}$ | Piaski i piaski ze żwirami rzeczno-peryglacialne tarasów nadzalewowych (pradolinnych) 2,0-5,0 m n.p. rzeki i wodnolodowcowe: |
| | 17/20 | | na mulkach, iłach i piaskach zastoiskowych |
| | 17/25 | | na glinach zwałowych |
| | 18 | $b_pQ_{p^3}^{W2}$ | Piaski wytopiskowe |
| | 19 | $f_{pB}^{(1)}Q_{p^3}^{W2}$ | Piaski i żwiry wodnolodowcowe: |
| | 19/20 | | na mulkach, iłach i piaskach zastoiskowych |
| | 19/25 | | na glinach zwałowych |
| | 20 | $b_{mi}Q_{p^3}^{W2}$ | Mulki, ily i piaski zastoiskowe |
| | 21 | $q_{pB}Q_{p^3}^{W2}$ | Piaski i żwiry moren martwego lodu |
| | 22 | $k_pQ_{p^3}^{W2}$ | Piaski ze żwirami, piaski i mulki piaszczyste oraz gliny zwałowe kemów |
| | 23 | $o_pQ_{p^3}^{W2}$ | Piaski i żwiry, miejscami mulki, ozów |
| | 24 | $q_{pB}Q_{p^3}^{W2}$ | Piaski i żwiry akumulacji szczelinowej |
| | 25 | $g_{gw}Q_{p^3}^{W2}$ | Gliny zwałowe |
| <div> <div>ZŁODOWACENIE WISŁY</div> <div>ZŁODOWACENIA PÓŁNOCNOPOLSKIE</div> <div>INTERGLACJAŁ EEMSKI</div> <div>Stadiał środkowy</div> <div>ZŁODOWACENIE WARTY</div> <div>ZŁODOWACENIA ŚRODKOWOPOLSKIE</div> </div> | | | |

PLEJSTOCEN

| | | |
|----|-------------------------------|---|
| 26 | $fg_p^{W1} Q_{p^3}$ | Piaski z domieszką żwirów wodnolodowcowe* |
| 27 | $g_{zw}^{W1} Q_{p^3}$ | Gliny zwałowe* |
| 28 | $b_{pm}^{W1} Q_{p^3}$ | Piaski i mulki zastoiskowe* |
| 29 | $fg_{pz}^O Q_{p^3}$ | Piaski i żwiry wodnolodowcowe* |
| 30 | $g_{zw}^O Q_{p^3}$ | Gliny zwałowe* |
| 31 | $b_{mp}^O Q_{p^3}$ | Mulki i piaski zastoiskowe* |
| 32 | $f_p^{Q_{p^{2-3}}}$ | Piaski rzeczne* |
| 33 | $fg_{pz}^G Q_{p^2}$ | Piaski i żwiry wodnolodowcowe* |
| 34 | $g_{zw}^G Q_{p^2}$ | Gliny zwałowe* |
| 35 | $b_{mp}^G Q_{p^2}$ | Mulki i piaski zastoiskowe* |
| 36 | $fg_p^S Q_{p^2}$ | Piaski wodnolodowcowe* |
| 37 | $g_{zw}^S Q_{p^2}$ | Gliny zwałowe* |
| 38 | $f_p^K Q_{p^2}$ | Piaski z domieszką żwirów rzeczne* |
| 39 | $fg_p^N Q_{p^2}$ | Piaski i piaski ze żwirami wodnolodowcowe* |
| 40 | $g_{zw}^N Q_{p^2}$ | Gliny zwałowe* |
| 41 | $f_p^{Q_{p^{1-2}}}$ | Piaski z detrytusem roślinnym rzeczne* |
| 42 | $g_{zw}^{A3} Q_{p^1}$ | Gliny zwałowe* |
| 43 | $f_{-pg_{pm}}^{A1-3} Q_{p^1}$ | Piaski i mulki rzeczno-peryglacjalne* |
| 44 | $Cr_3 O_p$ | Margle kredy górnej jako kry w utworach plejstocénskich |

NEOGEN

MIOCEN

| | | |
|----|-------|--|
| 45 | p^M | Piaski, piaski glaukonitowe i węgiel brunatny* |
|----|-------|--|

PALEOGEN

OLIGO-CEN

| | | |
|----|------------|---|
| 46 | p^{OI_1} | Piaski, piaski i mulki glaukonitowe, ility pyłowate oraz węgiel brunatny* |
|----|------------|---|

EOCEN

| | | |
|----|-------|---|
| 47 | p^E | Piaski, piaski i mulki glaukonitowe oraz mulki piaszczyste* |
|----|-------|---|

KREDA

KREDA GÓRNA

| | | |
|----|-----------|---------|
| 48 | $me Cr_3$ | Margle* |
|----|-----------|---------|

Stadiał dolny

ZŁODOWACENIE ODRY

INTERGLACJAŁ WIELKI

ZŁODOWACENIE SANU 2

ZŁODOWACENIE SANU 1

ZŁODOWACENIA POŁUDNIOWOPOLSKIE

INTERGLACJAŁ MAŁOPOLSKI

ZŁODOWACENIE NIDY

INTERGLACJAŁ AUGUSTOWSKI

Stadiał górny

Interstadiał

ZŁODOWACENIE NARWI



ZŁODOWACENIA NAJSTARSZE

OLIGOCEN DOLNY


* Tylko na przekroju i profilach


¹ SANDR sp. z o.o.
ul. Przasnyska 12/50
01-756 Warszawa

ZNAKI KONWENCJONALNE

 a Granice geologiczne: a. pewne,
 b b. przypuszczalne

 Głazy narzutowe

 Skupiska głazów narzutowych


 Ważniejsze źródła

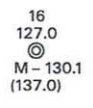
 Wycieki i wsięki wody


 Grodziska


 Studnie artezyjskie

 Formy antropogeniczne: n – nasypy
 w – wysypiska odpadów komunalnych

 Wybrane ważniejsze wyrobiska: PŻ – piaskownie-żwirownie
 P – piaskownie, G – gliniarki

 Wybrane otwory wiertnicze z kolejną numeracją
 oraz z rzędną terenu w m n.p.m. (symbol oznacza wiek:
 Pg – paleogen, Ol – oligocen,
 liczba głębokość stropu nawierconej skały starszej
 od czwartorzędu, w nawiasie głębokość otworu)

 Wybrane punkty dokumentacyjne

 Linia przekroju geologicznego

 Linia przekroju geologicznego załączonego w tekście

 Linie strukturalne

 Znaleziska fauny kopalnej

 Znaleziska flory kopalnej


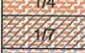

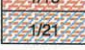

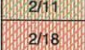

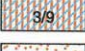
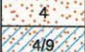

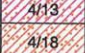
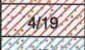
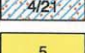
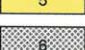


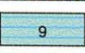

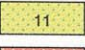
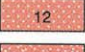

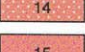
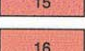
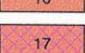
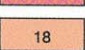
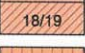
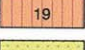
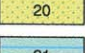







 Detrytus roślinny

 Drewno



 Glaukonit

 Węgiel brunatny

Arkusz Białystok:


| | | | | | | | | | | | | | | | | | | | | |
|---|---|--------------------------|--|--|--|--|--|--|--|--|--|--|--|--|--|--|--|--|--|--|
| HOLOCEN |  | 1 | $t Q_h$ | Torfy: | | | | | | | | | | | | | | | | |
| |  | 1/4 | | na piaskach humusowych i namulach den dolinnych oraz zagłębiach okresowo przepływowych | | | | | | | | | | | | | | | | |
| |  | 1/7 | | na piaskach i mulkach deluwialno-jeziornych | | | | | | | | | | | | | | | | |
| |  | 1/9 | | na piaskach i mulkach wytopiskowych | | | | | | | | | | | | | | | | |
| |  | 1/18 | | na piaskach, żwirach i głazach lodowcowych | | | | | | | | | | | | | | | | |
| |  | 1/21 | | na mulkach i ilach zastoiskowych | | | | | | | | | | | | | | | | |
| |  | 2 | $nr Q_h$ | Namuly torfiaste: | | | | | | | | | | | | | | | | |
| |  | 2/11 | | na piaskach i żwirach wodnolodowcowych | | | | | | | | | | | | | | | | |
| |  | 2/18 | | na piaskach, żwirach i głazach lodowcowych | | | | | | | | | | | | | | | | |
| |  | 3 | $li_n Q_h$ | Namuly zagłębi bezodpływowych: | | | | | | | | | | | | | | | | |
| |  | 3/9 | | na piaskach i mulkach wytopiskowych | | | | | | | | | | | | | | | | |
| |  | 4 | $pk Q_h$ | Piaski humusowe i namuly den dolinnych oraz zagłębiach okresowo przepływowych: | | | | | | | | | | | | | | | | |
| |  | 4/9 | | na piaskach i mulkach wytopiskowych | | | | | | | | | | | | | | | | |
| |  | 4/11 | | na piaskach i żwirach wodnolodowcowych | | | | | | | | | | | | | | | | |
| |  | 4/13 | | na piaskach tarasów kemowych | | | | | | | | | | | | | | | | |
| |  | 4/18 | | na piaskach, żwirach i głazach lodowcowych | | | | | | | | | | | | | | | | |
| |  | 4/19 | | na glinach zwałowych | | | | | | | | | | | | | | | | |
| |  | 4/21 | | na mulkach i ilach zastoiskowych | | | | | | | | | | | | | | | | |
| |  | 5 | $a_p Q_w$ | Piaski eoliczne w wydmach | | | | | | | | | | | | | | | | |
| |  | 6 | $d_{pz} Q$ | Piaski i żwiry deluwialne | | | | | | | | | | | | | | | | |
| |  | 7 | $d-li_{pm} Q$ | Piaski i mulki deluwialno-jeziorne | | | | | | | | | | | | | | | | |
|  | 8 | $li_{mt} Q_{p^{3-4}}$ | Mulki jeziorne i torfy* | | | | | | | | | | | | | | | | | |
|  | 9 | $b_{pm} Q_{p^3}^{W2}$ | Piaski i mulki wytopiskowe | | | | | | | | | | | | | | | | | |
|  | 10 | $f-pg_p Q_{p^3}^{W2(t)}$ | Piaski rzeczno-peryglacialne i wodnolodowcowe tarasów nadzalewowych 2,0-3,0 m n.p. rzeki | | | | | | | | | | | | | | | | | |
|  | 11 | $fg_{pz} Q_{p^3}^{W2}$ | Piaski i żwiry wodnolodowcowe | | | | | | | | | | | | | | | | | |
|  | 12 | $l_{gzw} Q_{p^3}^{W2}$ | Gliny zwałowe w spływach kemów i tarasów kemowych | | | | | | | | | | | | | | | | | |
|  | 13 | $tk_p Q_{p^3}^{W2}$ | Piaski tarasów kemowych | | | | | | | | | | | | | | | | | |
|  | 14 | $l_{pmz} Q_{p^3}^{W2}$ | Piaski, mulki i żwiry kemów | | | | | | | | | | | | | | | | | |
|  | 15 | $o_{pz} Q_{p^3}^{W2}$ | Piaski i żwiry ozów | | | | | | | | | | | | | | | | | |
|  | 16 | $gs_{pz} Q_{p^3}^{W2}$ | Piaski i żwiry akumulacji szczelinowej | | | | | | | | | | | | | | | | | |
|  | 17 | $gs_{pz} Q_{p^3}^{W2}$ | Piaski i żwiry moren czołowych | | | | | | | | | | | | | | | | | |
|  | 18 | $g_{pz} Q_{p^3}^{W2}$ | Piaski, żwiry i głazy lodowcowe: | | | | | | | | | | | | | | | | | |
|  | 18/19 | | na glinach zwałowych | | | | | | | | | | | | | | | | | |
|  | 19 | $g_{gzw} Q_{p^3}^{W2}$ | Gliny zwałowe | | | | | | | | | | | | | | | | | |
|  | 20 | $fg_{pz} Q_{p^3}^{W2}$ | Piaski i żwiry wodnolodowcowe* | | | | | | | | | | | | | | | | | |
|  | 21 | $b_{ml} Q_{p^3}^{W2}$ | Mulki i ily zastoiskowe | | | | | | | | | | | | | | | | | |
| CZWARTORZĘD | | | | | | | | | | | | | | | | | | | | |
| | | | | | | | | | | | | | | | | | | | | |
| | | | | | | | | | | | | | | | | | | | | |
| | | | | | | | | | | | | | | | | | | | | |


ZNAKI KONWENCJONALNE

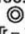
 a Granice geologiczne: a. pewne,
 b b. przypuszczalne

 Podcięcia antropogeniczne

 Głazy narzutowe o średnicy ponad 1,5 m

 Formy antropogeniczne:
 n – nasypy, w – wysypiska

 Wybrane ważniejsze wyrobiska: Ż – żwirownie,
 P – piaskownie, G – glinianki

70
 165.0
 Wybrane otwory wiertnicze z kolejną numeracją
 oraz z rzędną terenu w m n.p.m. (symbol oznacza wiek:
 Tr – 155.0 Tr – trzeciorzęd,
 Cr – 200.0 Cr – kreda,
 J – 363.0 J – jura,
 T – 466.0 T – trias,
 O – 508.3 O – ordowik,
 Cm – 540.9 Cm – kambr,
 (600.0) liczba głębokość stropu nawierconej skały starszej
 od czwartorzędu, w nawiasie głębokość otworu)

Otw. 1 – otwór wiertniczy leżący na płaszczyźnie
 przekroju. Otw. (1) – otwór wiertniczy rzutowany
 na płaszczyznę przekroju

A — B Linia przekroju geologicznego

 Detrytus roślinny

 Glaukonit

 Węgiel brunatny

Arkusz Łapy:

HOLOCEN

| | | |
|-------|--------------------|---|
| 1 | tQ_h | Torfy: |
| 1/3 | | na gytach |
| 1/6 | | na piaskach rzecznych |
| 1/8 | | na piaskach deluwialno-rzecznych |
| 1/9 | | na piaskach i mulkach jeziorno-deluwialnych |
| 1/13 | | na piaskach rzecznych |
| 2 | nrQ_h | Namuły torfiaste den dolinnych i zagłębień bezodpływowych: |
| 2/5 | | na mulkach i piaskach (madach) rzecznych |
| 2/6 | | na piaskach rzecznych |
| 2/8 | | na piaskach deluwialno-rzecznych |
| 2/13 | | na piaskach rzecznych |
| 3 | gyQ_h | Gytie* |
| 4 | phQ_h | Piaski humusowe i namuły den dolinnych i zagłębień okresowo przepływowych |
| 5 | maQ_h | Mułki i piaski (mady) rzeczne* |
| 6 | pQ_h | Piaski rzeczne |
| 7 | pQ | Piaski, żwiry i gliny deluwialne: |
| 7/22 | | na glinach zwałowych |
| 7/26 | | na piaskach, mulkach i iłach zastoiskowych |
| 8 | dQ | Piaski deluwialno-rzeczne |
| 9 | $li-dQ$ | Piaski i mulki jeziorno-deluwialne: |
| 9/22 | | na glinach zwałowych |
| 10 | pQ | Piaski, żwiry i gliny rezydualne: |
| 10/22 | | na glinach zwałowych |
| 10/24 | | na glinach zwałowych moren spiętrzonych |
| 10/26 | | na piaskach, mulkach i iłach zastoiskowych |
| 11 | eQ | Piaski eoliczne |
| 12 | $eQ^{(w)}$ | Piaski eoliczne w wydmach |
| 13 | pQ | Piaski rzeczne* |
| 14 | $liQ_{p^{3-4}}$ | Torfy, gytie i mulki jeziorne* |
| 15 | $f-pgQ_{p^3}^{W2}$ | Piaski rzeczno-peryglacialne (poziom niższy) |
| 16 | $bQ_{p^3}^{W2}$ | Piaski wytopiskowe |
| 17 | $f-pgQ_{p^3}^{W2}$ | Piaski i żwiry rzeczno-peryglacialne (poziom wyższy): |
| 17/22 | | na glinach zwałowych |
| 18 | $fgQ_{p^3}^{W2}$ | Piaski i żwiry wodnolodowcowe: |
| 18/22 | | na glinach zwałowych |
| 19 | $gpQ_{p^3}^{W2}$ | Żwiry, piaski, glazy i gliny moren czołowych |
| 20 | $gpQ_{p^3}^{W2}$ | Piaski, żwiry, glazy i gliny moren martwego lodu |
| 21 | $lQ_{p^3}^{W2}$ | Piaski, żwiry i gliny kemów |
| 22 | $gQ_{p^3}^{W2}$ | Gliny zwałowe: |
| 22/23 | | na piaskach i mulkach kemów i plateau kemowego |
| 22/26 | | na piaskach, mulkach i iłach zastoiskowych |
| 23 | $lQ_{p^3}^{W2}$ | Piaski i mulki kemów i plateau kemowego |
| 24 | $gwQ_{p^3}^{W2}$ | Gliny zwałowe moren spiętrzonych: |
| 24/25 | | na piaskach i mulkach moren spiętrzonych |
| 25 | $gwQ_{p^3}^{W2}$ | Piaski i mulki moren spiętrzonych |
| 26 | $bQ_{p^3}^{W2}$ | Piaski, mulki i ily zastoiskowe |
| 27 | $bQ_{p^3}^{W2}$ | Mułki i ily zastoiskowe |
| 28 | $fgQ_{p^3}^{W1}$ | Piaski wodnolodowcowe* |
| 29 | $gQ_{p^3}^{W1}$ | Żwiry i piaski lodowcowe* |
| 30 | $gQ_{p^3}^{W1}$ | Gliny zwałowe* |
| 31 | $bQ_{p^3}^{W1}$ | İly i mulki zastoiskowe* |
| 32 | $fgQ_{p^3}^{W1}$ | Piaski i żwiry wodnolodowcowe* |
| 33 | $bQ_{p^3}^{W1}$ | Piaski, mulki i ily zastoiskowe* |
| 34 | $gQ_{p^3}^{W1}$ | Gliny zwałowe* |

PLEJSTOCEN

INTERGLACJAŁ EEMSKI

Stadiał środkowy















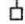


ZŁODOWACENIE WARTY

ZŁODOWACENIA ŚRODKOWOPOLSKIE

Stadiał dolny

CZWARTORZĘD

ZNAKI KONWENCJONALNE

| | | |
|---|---|--|
|  | a | Granice geologiczne: a. pewne, |
|  | b | b. przypuszczalne |
|  | | Struktury peryglacjalne |
|  | | Drewno |
|  | | Głazy narzutowe |
|  | | Skupiska głazów narzutowych |
|  | | Ważniejsze źródła |
|  | | Wycieki i wysięki wody |
|  | | Znaleziska flory kopalnej |
|  | | Detrytus roślinny |
|  | | Znaleziska fauny kopalnej |
|  | | Grodziska |
|  | | Zaburzenia glacictektoniczne |
|  | | Formy antropogeniczne: n–nasypy, o–osadniki, w–wysypiska odpadów komunalnych |
|  | | Wybrane ważniejsze wyrobiska: Ż–żwirownie, PŻ–piaskownie-żwirownie, G–glinianki |
| 41 151.9 ⊙ Tr – 120.0 Cr ₃ – 220.0 J ₃ – 446.0 T ₁ – 554.0 P ₁ – 644.0 O – 702.7 (740.0) | | Wybrane otwory wiertnicze z kolejną numeracją oraz z rzędną terenu w m n.p.m. (symbol oznacza wiek: Tr – trzeciorzęd, Ol – oligocen, E – eocen, Cr – kreda, J ₃ – jura górna, J ₂ – jura środkowa, T ₁ – trias dolny, P ₁ – perm dolny, O – ordowik, Cm ₁ – kambr dolny, Pt – proterozoik, liczba głębokość stropu nawierconej skały starszej od czwartorzędu, w nawiasie głębokość otworu) |
| | | Otw. 1 – otwór wiertniczy leżący na płaszczyźnie przekroju. Otw. (1) – otwór wiertniczy rzutowany na płaszczyznę przekroju |
| | | U w a g a: opisy otworów na odwrocie mapy |
|  | | Wybrane punkty dokumentacyjne |
| A — B | | Linia przekroju geologicznego |
| C — D | | Linia przekroju geologicznego załączonego w tekście |
|  | | Linie strukturalne |
|  | | Glaukonit |
|  | | Węgiel brunatny |